

Eks 2: Spredning på $V(x) = -\beta \delta(x)$

(73)

$$x > 0 : \Psi = t e^{ikx}, \quad \Psi' = ik t e^{ikx}$$

$$x < 0 : \Psi = e^{ikx} + r e^{-ikx}, \quad \Psi' = ik (e^{ikx} - r e^{-ikx})$$

$$\Psi(0^+) = \Psi(0^-) \Rightarrow t = 1 + r \Rightarrow r = t - 1$$

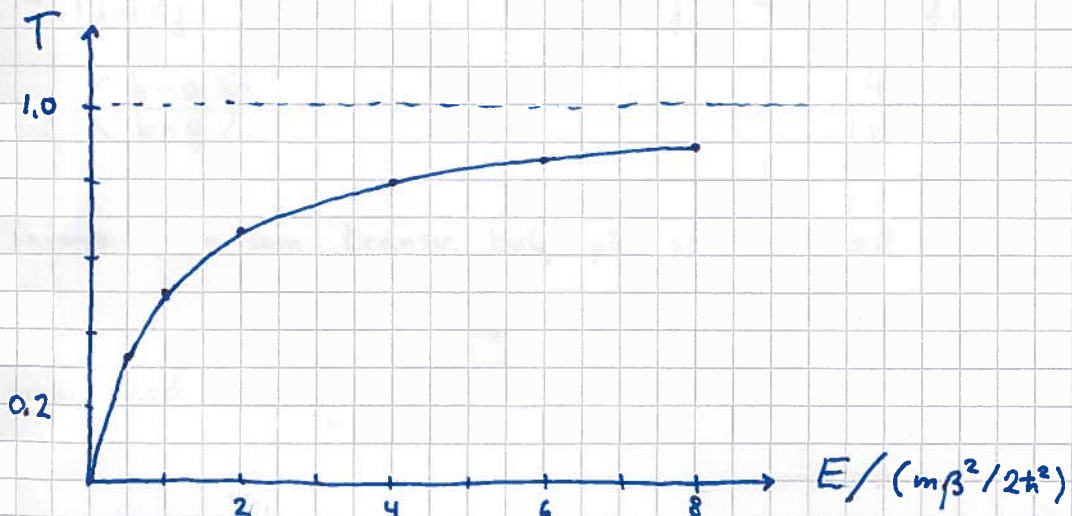
$$\Psi^*(0^+) - \Psi^*(0^-) = -\frac{2m\beta}{\hbar^2} \Psi(0) \Rightarrow ik t - ik \underbrace{(1-r)}_{=2-t} = -\frac{2m\beta}{\hbar^2} t$$

$$\Rightarrow 2ikt + 2 \frac{m\beta}{\hbar^2} t = 2ik$$

$$\Rightarrow t = \frac{ik}{ik + m\beta/\hbar^2} = \frac{1}{1 + m\beta/ik\hbar^2}$$

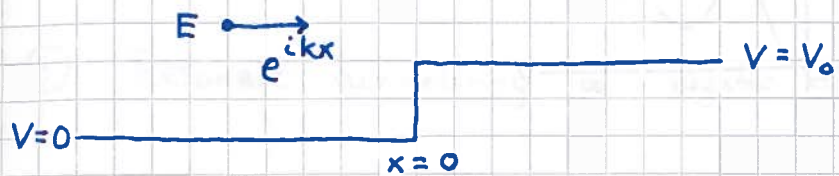
$$\Rightarrow T = |t|^2 = \frac{1}{1 + (m\beta/k\hbar^2)^2} = \frac{1}{1 + m\beta^2/2E\hbar^2}$$

Dvs, samme T for δ -brønn ($\beta > 0$) og δ -barriere ($\beta < 0$).



Eks 3 : Potentialsprang

74



$E > V_0$:

$$\Psi(x) = \begin{cases} e^{ikx} + r e^{-ikx} ; & k^2 = 2mE/\hbar^2 ; \quad x < 0 \\ t e^{iqx} ; & q^2 = 2m(E-V_0)/\hbar^2 ; \quad x > 0 \end{cases}$$

Ψ og Ψ' kontinuerlige i $x = 0$

$$\Rightarrow 1+r=t, \quad ik(1-r)=iqt$$

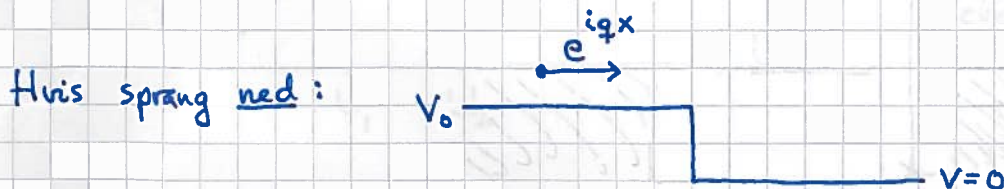
$$\Rightarrow r = \frac{k-q}{k+q}, \quad t = \frac{2k}{k+q}$$

$$j_i = \hbar k/m, \quad j_r = -|r|^2 \hbar k/m, \quad j_t = |t|^2 \hbar q/m$$

$$R = |j_r|/j_i = |r|^2, \quad T = j_t/j_i = |t|^2 q/k$$

$$= \left(\frac{k-q}{k+q} \right)^2 = \frac{4kq}{(k+q)^2} \quad (\Rightarrow R+T=1)$$

(På samme form som transv. bølge på streng med skjært i $x=0$!)

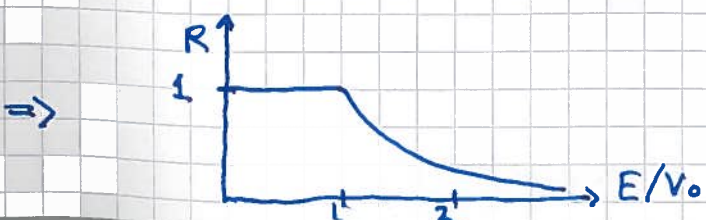


Vi ser at ombytte $k \leftrightarrow q$ gir uendret R og T ! (Resiprositet)

Hvis $E < V_0$ forventes selv sagt $T=0$ og $R=1$:

$$\Psi(x>0) = t e^{-qx}; \quad q^2 = 2m(V_0-E)/\hbar^2$$

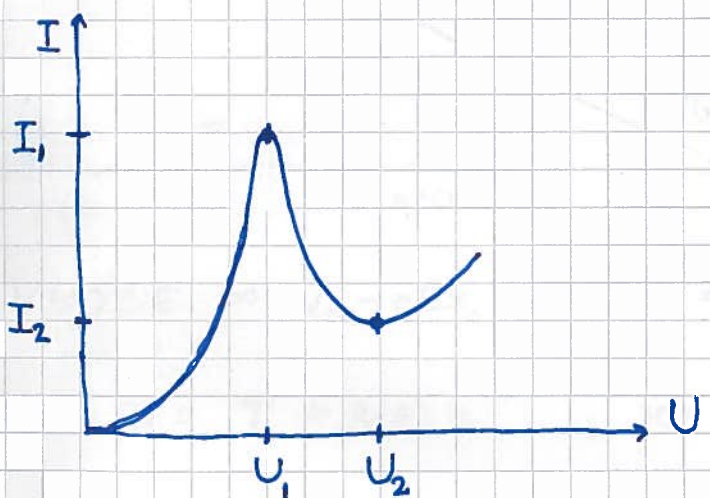
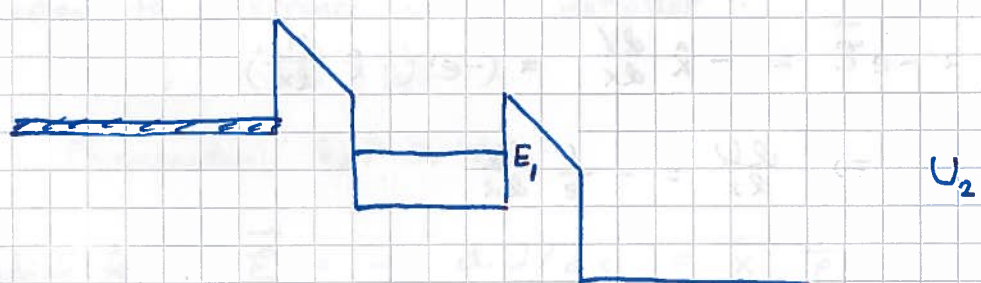
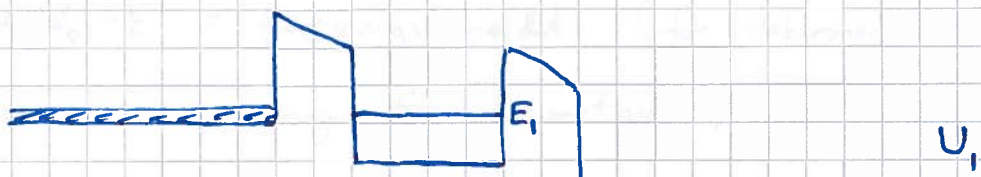
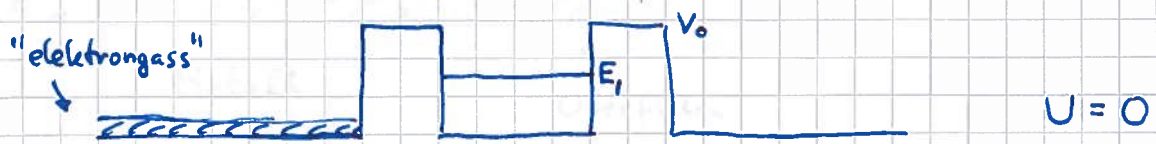
$$\Rightarrow 1+r=t \quad \text{og} \quad ik(1-r)=-qet \Rightarrow R=|r|^2 = \left| \frac{qe+ik}{qe-ik} \right|^2 = 1; \quad \text{OK}$$



Anvendelser, spredning i 1D:

(75)

① Resonant tunnelering og negativ differensiell resistans



F.eks. legdelt halvlederstruktur
 $\text{GaAs} - \text{AlGaAs} - \text{GaAs} - \text{AlGaAs} - \text{GaAs}$

der AlGaAs repr. en potensialbarriere for elektronene i GaAs .

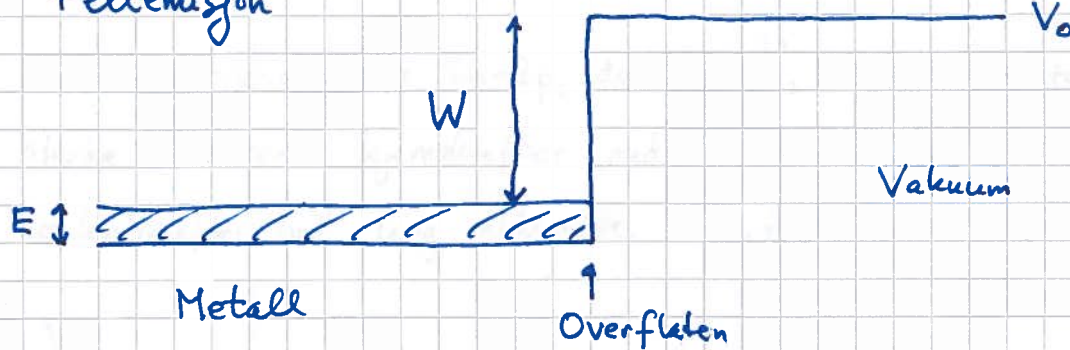
Mellan U_1 og U_2 er resistansen $R = U/I > 0$, men den differensielle resistansen

$$r = \frac{dU}{dI} < 0$$

Interessant egenskap!

② Feltemisjon

76

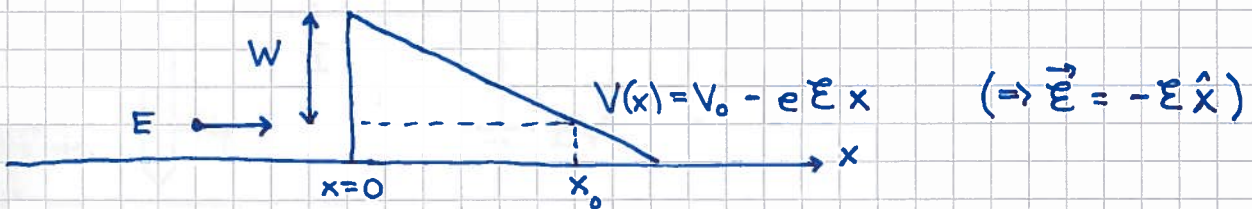


$W = V_0 - E$ = frigjøringsarbeidet (for elektronene med høgest energi, E , i metallet)

Hvordan få elektroner ut av metallet?

- Fotoner, $h\nu > W$
- Temperatur, $k_B T \gtrsim W$

Elektrisk felt, $\vec{E} = -\hat{x} \frac{dU}{dx} = \hat{x} \frac{1}{e} \frac{dV}{dx}$, og tunnelering:



$$V(x_0) = E \Rightarrow V_0 - eEx_0 = V_0 - W \Rightarrow x_0 = W/eE$$

Fra s. 71: $T \approx A(E) e^{-\frac{2\pi e L}{\hbar}}$; $\pi e = \sqrt{2m(V_0 - E)}/\hbar$ for firkantbarriere

WKB-tilnærmlingen (ikke pensum): $e^{-\frac{2\pi e L}{\hbar}} \rightarrow \exp \left[-2 \int_0^{x_0} \pi e(x) dx \right]$

$$\text{Hér er } \pi e(x) = \sqrt{2m(V - E)}/\hbar = \sqrt{2m(V_0 - eEx - W)}/\hbar = \sqrt{2m(W - eEx)}/\hbar$$

$$\Rightarrow T \sim \exp \left[-2 \int_0^{W/eE} \sqrt{2m(W - eEx)}/\hbar dx \right] = \exp \left[-\frac{4\sqrt{2m} W^{3/2}}{3\hbar e E} \right]$$

Poenget her er først og fremst at T øker raslt med økende feltstyrke E :

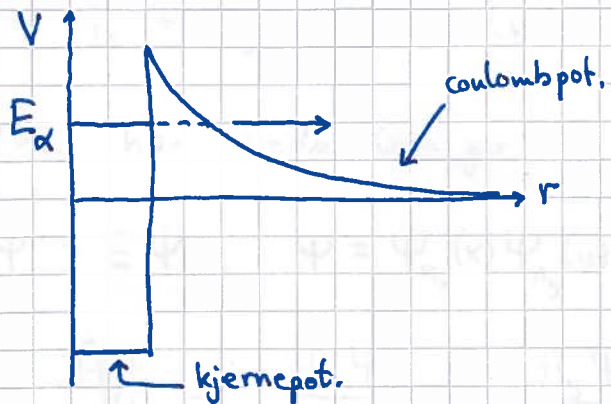
Med $W \sim 4 \text{ eV}$ og $E \sim 10^9 \text{ V/m}$ (typiske tallverdier) blir

$$T(E)/T(\frac{1}{2}E) \approx \exp \left[\frac{4\sqrt{2m} W^{3/2}}{3\hbar e E} \right] \approx \exp(55) \approx 10^{24}$$

③ α -stråling

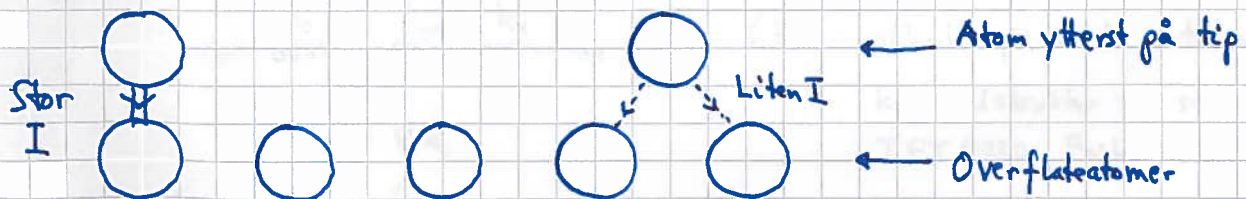
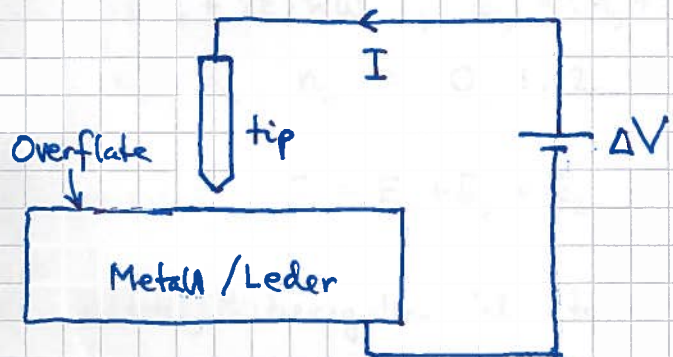
(77)

En α -partikkelen, dvs $2n+2p$, dvs ${}^4_2\text{He}^{2+}$, i en stor atomkjernene opplever sterke tiltrekkende kjernekrefter med kort rekkenidde og svakere frastøkende Coulombkrefter med lang rekkenidde. Modellpotensial (Gamow 1928):



α -partikkelen kan tunnelere ut av kjernen
→ α -decay

④ Scanning-tunneling-mikroskop (STM)



Strøm $I \sim T \sim \exp(-2\beta e L)$ størst når tip-atom rett over (dvs nærmest) overflateatom.

Arbildning på atomært nivå. [Binnig, Rohrer; NP 1986]

Harmonisk oscillator

$$\hat{H} = \hat{K} + \hat{V} = -\frac{\hbar^2}{2m}\nabla^2 + \frac{1}{2}m(\omega_x^2x^2 + \omega_y^2y^2 + \omega_z^2z^2)$$

$$= \hat{H}_x + \hat{H}_y + \hat{H}_z \quad (\text{med } \hat{H}_x = -\frac{\hbar^2}{2m}\frac{\partial^2}{\partial x^2} + \frac{1}{2}m\omega_x^2x^2 \text{ etc})$$

\Rightarrow TUSL har produktløsninger:

$$\hat{H}\Psi = E\Psi ; \quad \Psi = \Psi_{n_x}(x)\Psi_{n_y}(y)\Psi_{n_z}(z) = \Psi_{n_x n_y n_z}$$

$$\Rightarrow E = \frac{\hat{H}\Psi}{\Psi} = \underbrace{\frac{\hat{H}_x \Psi_{n_x}}{\Psi_{n_x}}}_{\text{kun avh. av } x} + \underbrace{\frac{\hat{H}_y \Psi_{n_y}}{\Psi_{n_y}}}_{\dots \text{av } y} + \underbrace{\frac{\hat{H}_z \Psi_{n_z}}{\Psi_{n_z}}}_{\dots \text{av } z} = E_x + E_y + E_z$$

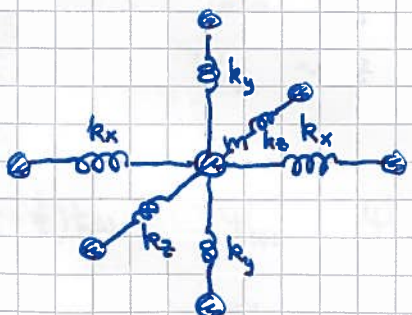
der vi fra før vet at

$$E_x = (n_x + \frac{1}{2})\hbar\omega_x , \quad E_y = (n_y + \frac{1}{2})\hbar\omega_y , \quad E_z = (n_z + \frac{1}{2})\hbar\omega_z$$

$$\text{med } n_x, n_y, n_z = 0, 1, 2, \dots$$

$$\text{Total energi: } E = E_x + E_y + E_z$$

Eks: Vibrasjonsbevegelsen til atomer i krystaller ("fononer")



(Her: såkalt primitiv ortorombisk
krystallstruktur; se
TFY 4220 Faste stoffers fysikk)

Isotrop oscillator: $\omega_x = \omega_y = \omega_z = \omega$

(79)

$$V = \frac{1}{2}m\omega^2(x^2 + y^2 + z^2) = \frac{1}{2}m\omega^2r^2 = V(r)$$

dvs varh. av Θ og φ , dvs kulesymmetrisk potensial,
med radieelt rettet kraft, $\vec{F} = -\nabla V = -\hat{r}\frac{\partial V}{\partial r} = -m\omega^2r\hat{r}$,
såkalt sentralkraft.

$$\text{Mulige energier: } E_N = (n_x + n_y + n_z + \frac{3}{2})\hbar\omega = (N + \frac{3}{2})\hbar\omega; \quad N=0,1,2,\dots$$

$$[\text{I to dimensjoner: } (N+1)\hbar\omega; \quad N=n_x+n_y]$$

Her har vi degenerasjon: flere tilstander med samme energi

[1D: ingen degenerasjon; se PCTH 3.1.3 for bevis]

$$g_N = \# \text{ tilstander med energi } E_N = \text{degenerasjonsgraden}$$

$$E_0 = \frac{3}{2}\hbar\omega; \quad \Psi_{000} = \Psi_0(x)\Psi_0(y)\Psi_0(z) \sim e^{-m\omega r^2/2\hbar}$$

$$g_0 = 1$$

$$E_1 = \frac{5}{2}\hbar\omega; \quad \left. \begin{array}{l} \Psi_{100} \sim x e^{-m\omega r^2/2\hbar} \\ \Psi_{010} \sim y \quad \cdots \\ \Psi_{001} \sim z \quad \cdots \end{array} \right\} \Rightarrow g_1 = 3$$

$$E_N = (N + \frac{3}{2})\hbar\omega; \quad \left. \begin{array}{l} \Psi_{N00}, \Psi_{0N0}, \Psi_{00N}, \\ \Psi_{N-1,1,0}, \Psi_{N-1,0,1}, \dots \\ \cdots \end{array} \right\} \Rightarrow g_N = ?$$

Kan ha $n_x = 0, 1, 2, \dots, N$.

For gitt n_x kan vi ha $n_y = 0, 1, \dots, N - n_x \Rightarrow N - n_x + 1$ mulige
(For gitt n_x og n_y er $n_z = N - n_x - n_y \Rightarrow$ kun en mulighet)

$$\Rightarrow g_N = \sum_{n_x=0}^N (N - n_x + 1) = (N+1) + N + (N-1) + \dots + 2 + 1 = \underline{(N+2) \cdot (N+1)/2}$$

Generelt :

(80)

- Symmetri \Rightarrow Degenerasjon (i 2 og 3 dimensjoner)

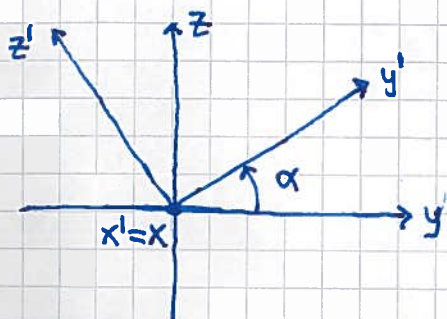
- Basisbytte :

Isotropt potensial $V(r)$ betyr at alle retninger er likeverdige.

Anta f.eks. at energien er $E_1 = \frac{5}{2}\hbar\omega$.

Da beskrives partikkelen med en av tilstandene Ψ_{100} , Ψ_{010} eller Ψ_{001} , eller en vilkårlig (normert) lineær-kombinasjon av disse tre

Eks: Rotasjon av koordinatsystemet en vinkel α om x-aksen



Med (xyz) gir TUSL $\Psi_{100} \sim x e^{-m\omega r^2/2\hbar}$ osv

Med $(x'y'z')$ gir TUSL $\Psi_{100}' \sim x' e^{-m\omega r^2/2\hbar}$ osv

Hva er sammenhengen mellom $\{\Psi'\}$ og $\{\Psi\}$?

Ser at vi må finne sammenhengen mellom $\{x'y'z'\}$ og $\{xyz\}$.

Ser (fra figuren) at $y' = y \cos \alpha + z \sin \alpha$, $z' = -y \sin \alpha + z \cos \alpha$ og $x' = x$, dvs

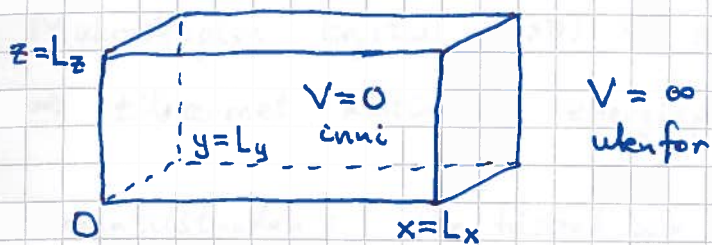
$$\begin{pmatrix} x' \\ y' \\ z' \end{pmatrix} = A \begin{pmatrix} x \\ y \\ z \end{pmatrix} \quad \text{med} \quad A = \begin{pmatrix} 1 & 0 & 0 \\ 0 & \cos \alpha & \sin \alpha \\ 0 & -\sin \alpha & \cos \alpha \end{pmatrix}$$

Men da er også (siden Ψ_{100} og Ψ_{100}' er prop. med x og x' , osv)

$$\begin{pmatrix} \Psi_{100}' \\ \Psi_{010}' \\ \Psi_{001}' \end{pmatrix} = A \begin{pmatrix} \Psi_{100} \\ \Psi_{010} \\ \Psi_{001} \end{pmatrix}$$

Partikkkel i boks. Pauliprinsipp. Tilstandstilhet [PCH 5.2]

(81)



I likhet med 3D harmonisk oscillator:

TUSL separerer og gir produktløsninger;

$$\Psi_{n_x n_y n_z} = \frac{2^{3/2}}{\sqrt{L_x L_y L_z}} \sin \frac{n_x \pi x}{L_x} \sin \frac{n_y \pi y}{L_y} \sin \frac{n_z \pi z}{L_z}$$

$$E_{n_x n_y n_z} = \frac{\pi^2 \hbar^2}{2m} \left(\frac{n_x^2}{L_x^2} + \frac{n_y^2}{L_y^2} + \frac{n_z^2}{L_z^2} \right) \quad (n_j = 1, 2, 3, \dots; j = x, y, z)$$

Kubisk boks, $L_x = L_y = L_z = L$ (symmetri!) \Rightarrow degenerasjon:

$$E_1 = E_{111} = 3\pi^2 \hbar^2 / 2mL^2 ; g_1 = 1$$

$$E_2 = E_{211} = E_{121} = E_{112} = 6\pi^2 \hbar^2 / 2mL^2 ; g_2 = 3$$

osv

Eks: Ideelle gasser (ikke-vekselvirkende partikler)

Frie elektroner i metaller (enkleste modell)

Pauliprinsippet: Maksimalt ett fermion i en gitt enpartikkeltilstand

Fermioner: elektron, proton, neutron (m/f)

Bosoner: foton. (m/f)

(Ingen begrensning på antall bosoner i en gitt enpartikkeltilstand)